

行政院國家科學委員會專題研究計畫 成果報告

重力理論的一些課題

計畫類別：個別型計畫

計畫編號：NSC93-2112-M-032-008-

執行期間：93 年 08 月 01 日至 94 年 07 月 31 日

執行單位：淡江大學物理學系

計畫主持人：曹慶堂

報告類型：精簡報告

處理方式：本計畫可公開查詢

中 華 民 國 94 年 10 月 11 日

行政院國家科學委員會專題研究計畫成果報告

重力理論的一些課題

Some Topics in Gravity Theory

計畫編號：NSC 93-2112-M-032-008

執行期限：93 年 8 月 1 日至 94 年 7 月 31 日

主持人：曹慶堂 淡江大學物理系

一、中文摘要

我們考慮在 S^1/Z_2 下，二維 ϕ^4 理論的真空結構。對於 orbifold 的大小為可變時，在 $L_c = 2\pi/m$ 將會有相變發生，其中 m 為 ϕ 的質量。當 $L < L_c$ ，只有唯一的真空，當 $L > L_c$ ，則有兩個簡併真空。我們也得到在這些真空解附近的一個迴圈的量子修正項，在 $L < L_c$ 下為精確解，對於 L 大於而接近 L_c 有微擾的解。

關鍵詞：真空結構、orbifold、相變

Abstract

We consider the vacuum structure of two-dimensional ϕ^4 theory on S^1/Z_2 . When the size of the orbifold is varied, a phase transition occurs at $L_c = 2\pi/m$, where m is the mass of ϕ . For $L < L_c$, there is a unique vacuum, while for $L > L_c$, there are two degenerate vacua. We also obtain the 1-loop quantum corrections around these vacuum solutions, exactly in the case of $L < L_c$ and perturbatively for L greater than but close to L_c .

Keywords: vacuum structure, orbifold, phase transition

二、緣由與目的

場論的真空結構和孤立子解在 compact 維度的情形有戲劇性改變。一個有名的例子是 Hosotani 機制[1]，在非簡單連結空間中，場強度為零不代表規範(gauge)場為零。然後不為零的規範場有規範對稱

破壞的意義。這關於非簡單連結的空間，場可以有不同的，但又與規範對稱一致的邊界條件[2]。另一方面，也可以探討在整體對稱情形下，真空結構和這些邊界條件的關連性[3]。

孤立子解也可以跟這些邊界條件有關。譬如，當 compact 空間為一個圓時，就是說當週期性邊界條件被加入純場[4]，有對稱破壞位能的二維 ϕ^4 理論的 kink 解將會消失。他們可以被 sphaleron 解來取代，即成對的 kink 和反 kink。由於空間是 compact 的，有限能量不再是可能孤立子解的限制。因此，這些解的拓撲歸類也必須有所修正。

除了 compact 的圓外，也可以考慮像 S^1/Z_2 的 orbifold，這關係到內部維度的反射或宇稱作用[5]，以及平移的等價。最近，有很多建立 orbifold 額外維度的 GUT 模型的工作。這是一種簡單的方法，在代表物理維度的固定點，得到 chiral 費米子[6]。Hosotani 機制也可以在 orbifold[7] 的 compact 空間下實現，不需要 Higgs 場而在這些模型，使得對稱破壞成為可能。

為了能夠更詳細了解在 orbifold 中的純量場特性，我們考慮二維 ϕ^4 的簡單例子。在這個模型下，大部分的分析都可以完全進行。我們會考慮純量場在 S^1/Z_2 orbifold，真空解和他們的量子修正項。另一方面，我們得到的結果也可以應用到高維度的理論。

三、結果和討論

我們考慮在(1+1)維上的 ϕ^4 理論,

$$L = \frac{1}{2}(\partial_\mu \phi)^2 - U(\phi), \quad (1)$$

其中

$$U(\phi) = \frac{\lambda}{4} \left(\phi^2 - \frac{m^2}{\lambda} \right)^2. \quad (2)$$

首先在不同空間維度的尺度下, 我們從 S^1 [4]的靜態解導出在 S^1/Z_2 真空解。然後利用 zeta-function regularization [8]的方法來計算這些解的量子修正項。

A. 真空解

對於式(1)Lagrangian 的運動方程

$$-\partial^2 \phi - U'(\phi) = 0, \quad (3)$$

假如我們祇考慮靜態解,

$$\frac{d^2 \phi}{dx^2} = -(-U'(\phi)). \quad (4)$$

這只是牛頓的第二定律, 其中 x 視為時間。在這圓 S^1 上, 假如加上週期性的條件, $\phi(x+L) = \phi(x)$, 其中 L 為圓的週長, 那真空解[4]將可以得到, 如下

$$\phi_v = \pm \frac{m}{\sqrt{\lambda}}, \quad (5)$$

不穩定的解為,

$$\phi_0 = 0, \quad (6)$$

週期性的解,

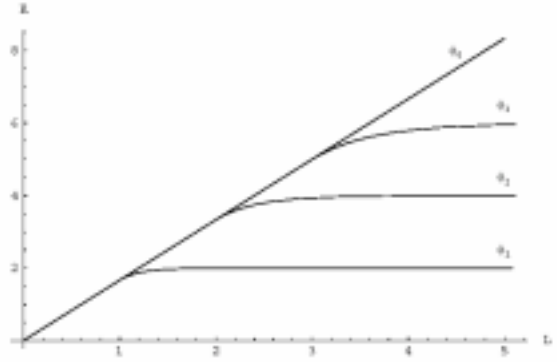
$$\phi_n = \frac{m}{\sqrt{\lambda}} \left(\sqrt{\frac{2k^2}{1+k^2}} \right) \text{sn} \left[\frac{m}{\sqrt{1+k^2}} x \right], \quad (7)$$

其中 sn 為 Jacobi 橢圓函數, ϕ_n 包含 n 對 kink 和反 kink。 L, n 之間的關係和參數 k ($0 \leq k \leq 1$) 是

$$L = \frac{4n\sqrt{1+k^2}}{m} K(k) \quad (8)$$

因為 $K(0) = \pi/2$ 是 $K(k)$ 的最小值, 可允許解 ϕ_n 的數目會隨著 L 而增加。譬如說, 一個 kink-反 kink 對只存在 $L \geq L_1 = 2\pi/m$ 的條件下。在那圓上, ϕ_0 和 ϕ_n 都是不穩定且衰變真空解 ϕ_v 。這些組態的能量-在 kink

圖 1: 靜態解的能量 (能量單位



$E_0 = 2\sqrt{2}m^3/3\lambda$)變化對於圓的大小(長度單位 L_1).

能量為 $E_0 = 2\sqrt{2}m^3/3\lambda$, 為 L 變數的函數如圖 1 [4]所示。對於 $L < L_1$, ϕ_0 是理論上唯一不穩定的解, 並且被詮釋成 sphaleron 解。對於 $L > L_1$, ϕ_1 也是一個不穩定的解, 因為它比 ϕ_0 的能量低, 便變成一個 sphaleron 的解。

在 orbifold S^1/Z_2 , 將 x 的範圍定在 $-L/2 < x < L/2$ 之間。因為 Lagrangian 在 $\phi \rightarrow -\phi$ 轉換下的不變性, 要求

$$\phi(-x) = \pm \phi(x), \quad (9)$$

可以將宇稱放到這場裡。如果將正宇稱的條件放到這場中, 將不會有太大的改變。然而, 將負宇稱放進來, 這真空結構會有重大的改變。要求場有 orbifold 的條件,

$$\phi(-x) = -\phi(x), \quad (10)$$

真空解 ϕ_v 會被排除, 因為他們有偶宇稱。然後, 對於 $L < L_1$, ϕ_0 成為唯一的真空解, 對於 $L > L_1$,

$$\phi_{\pm 1} = \pm \frac{m}{\sqrt{\lambda}} \left(\sqrt{\frac{2k^2}{1+k^2}} \right) \text{sn} \left[\frac{m}{\sqrt{1+k^2}} x \right], \quad (11)$$

k 滿足 $\sqrt{1+k^2} K(k) = mL/4$, 是簡併真空解。注意由於 orbifold 條件-平移對稱的靜態破壞, 以致於 ϕ_1 和 ϕ_{-1} 不再是相同的解。當 L 變化時, 會發生相變。臨界週長為,

$$L_c = L_1 = \frac{2\pi}{m}. \quad (12)$$

注意到這相變特別跟 orbifold 結構有關是件有趣的事。這不會發生在有週期性邊界條件的圓上。這對 $L < L_c$, 我們有唯一真空解 ϕ_0 。在 L_c 上, ϕ_0 會分裂為三個解,

ϕ_0, ϕ_1 和 ϕ_{-1} 。 $\phi_{\pm 1}$ 變成簡併真空並且 ϕ_0 為 sphaleron 解。當 orbifold 在高維理論中被當成額外維度時，上述的相變將會跟真空結構相關。

真空解的穩定性可以在其附近用微擾來分析[4]。在 $L < L_1$ 下的 $\phi_0 = 0$ ，微擾方程式為

$$\frac{d^2 \eta}{dx^2} + (\omega^2 + m^2) \eta = 0, \quad (13)$$

其中， $\phi(x, t) = \phi_0 + \eta(x)e^{-i\omega t}$ 。這是一個簡諧震盪方程式。加入週期性邊界條件，這解是簡單地

$$\eta_0 \sim \text{const}, \quad (14)$$

伴隨著頻率為 $\omega_0^2 = -m^2$ ，並且

$$\eta_p \sim \sin \frac{2\pi p x}{L}, \cos \frac{2\pi p x}{L} \quad (15)$$

和

$$\omega_p^2 = \frac{4\pi^2 p^2}{L^2} - m^2 = m^2 \left[\left(\frac{L_1}{L} \right)^2 p^2 - 1 \right], \quad (16)$$

$p = 1, 2, \dots$

最低的能量態是在 ϕ_0 是不穩定的負模式，而且會衰變成真空解。現在，假如 orbifold 條件加入，這個負模式因為是偶數而被排除。 ϕ_0 是穩定且在 $L < L_1$ 的情況下，是唯一的基態。

同樣的，對於 $L > L_1$ 條件下，可以分析 $\phi_{\pm 1}$ 的穩定性。這裡微擾的微分方程式變成[9]

$$\frac{d^2 \eta}{dx^2} + (\omega^2 + m^2 - 3\lambda \phi_1^2) \eta = 0. \quad (17)$$

這是 Lamé 方程式。這個例子裡有五個本徵函數是由 Lamé 多項式求得，其餘則由 Lamé transcendental 函數[10]，最低的能量態是一個負模式，

$$\eta_0(z) = \text{sn}^2(z) - \frac{1}{3k^2} \left(1 + k^2 + \sqrt{1 - k^2(1 - k^2)} \right), \quad (18)$$

其中 $z = mx / \sqrt{1 + k^2}$ ，其頻率為

$$\omega^2 = m^2 \left(1 - \frac{2\sqrt{1 - k^2(1 - k^2)}}{1 + k^2} \right) \leq 0. \quad (19)$$

再次指出在圖上的 $\phi_{\pm 1}$ 是不穩定的，並且衰

變到真空解。注意這個負模式有偶宇稱。Orbifold 條件也會排出這個模式，而且提供 $\phi_{\pm 1}$ 穩定。下一個態是零模式，

$$\eta_1(z) = \text{cn}(z) \text{dn}(z). \quad (20)$$

此模式也是偶宇稱。這個的呈現跟 ϕ_n 平移(旋轉)對稱有關。orbifold 條件也會將此模式排除在外，因為 orbifold 破壞 ϕ_n 的平移對稱。其他三個 Lamé 多項式態為

$$\eta_3(z) = \text{sn}(z) \text{dn}(z); \omega_3^2 = \frac{3m^2 k^2}{1 + k^2} \quad (21)$$

$$\eta_4(z) = \text{sn}(z) \text{dn}(z); \omega_4^2 = \frac{3m^2}{1 + k^2} \quad (22)$$

其中兩者都是奇宇稱，

$$\eta_5(z) = \text{sn}^2(z) - \frac{1}{3k^2} \left(1 + k^2 - \sqrt{1 - k^2(1 - k^2)} \right) \quad (23)$$

這是偶宇稱，其中

$$\omega_5^2 = m^2 \left(1 + \frac{2\sqrt{1 - k^2(1 - k^2)}}{1 + k^2} \right). \quad (24)$$

orbifold 條件也排除了 $\eta_5(z)$ 。即使其餘譜圖不能明顯的了解，還是可以看出這本徵函數的宇稱擁有的模式:偶、偶、奇、奇、偶、偶、。因此，譜圖的另一半將會正確地滿足 orbifold 條件。

B. 量子修正項

接下來，我們會對於真空能量來計算一圈的修正。對於 $L < L_1$ ，真空解 ϕ_0 的古典能量是

$$M_{cl}[\phi_0] = \frac{m^4 L}{4\lambda}. \quad (25)$$

利用(16)式微擾的譜圖可以很明確地對於此能量求出量子修正項，

$$\begin{aligned} (\Delta M)_{\phi_0} &= \frac{mL_1}{2L} \sum_{p=1}^{\infty} \left[p^2 - \left(\frac{L}{L_1} \right)^2 \right]^{\frac{1}{2}} \\ &= \lim_{s \rightarrow -1} \frac{1}{2} \left(\frac{mL_1}{L} \right)^{-s} \sum_{p=1}^{\infty} \left[p^2 - \left(\frac{L}{L_1} \right)^2 \right]^{-\frac{s}{2}}. \end{aligned} \quad (26)$$

這裡我們使用 zeta 函數重整化方法[8]。用黎曼 zeta 函數，上面的總合可以表示成

$$\begin{aligned}
(\Delta M)_{\phi_0} = & \lim_{s \rightarrow -1} \left[\frac{1}{2} \left(\frac{mL_1}{L} \right)^{-s} \zeta(s) \right. \\
& + \left(\frac{L}{2L_1} \right)^2 s \left(\frac{mL_1}{L} \right)^{-s} + \zeta(2+s) \left(\frac{mL_1}{L} \right)^{-s} \\
& \left. \sum_{n=2}^{\infty} \frac{(-1)^n \Gamma(1-s/2)}{2\Gamma(n+1)\Gamma(1-n-s/2)} \left(\frac{L}{L_1} \right)^{2n} \zeta(2n+s) \right].
\end{aligned} \quad (27)$$

第一項，

$$\frac{1}{2} \left(\frac{mL_1}{L} \right) \zeta(-1) = -\frac{\pi}{12L}, \quad (28)$$

這是在 orbifold 上的無質量純場的手徵能量。當 $L \rightarrow 0$ 時，則會發散。第二項為，

$$\lim_{s \rightarrow -1} \left(\frac{L}{2L_1} \right)^2 s \left(\frac{mL_1}{L} \right)^{-s} \zeta(2+s) = \quad (29)$$

$$\lim_{s \rightarrow -1} \frac{m^2 L}{8\pi} \left[-\frac{1}{s+1} + 1 - \gamma + \ln \left(\frac{2\pi}{L} \right) \right].$$

藉由適當的質量重整化程序，此發散部分可以被抵銷。事實上，質量重整化對於二維 ϕ^4 理論是唯一的需求。最後一項，

$$\begin{aligned}
& m \sum_{n=2}^{\infty} \frac{(-1)^n \sqrt{\pi}}{4\Gamma(n+1)\Gamma\left(\frac{3}{2}-n\right)} \left(\frac{L}{L_1} \right)^{2n-1} \zeta(2n-1) \\
& \equiv mf(L/L_1),
\end{aligned} \quad (30)$$

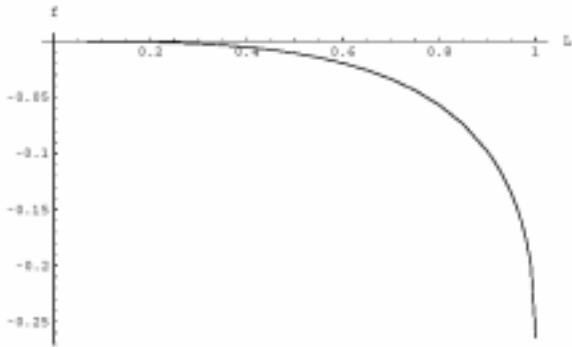


圖 2: 收斂級數 f 的值，為一個緊致維度大小(長度單位為 L_1)的函數

在圖 2 中，對於 $0 \leq L \leq L_1$ ， $f(L/L_1)$ 是一個收斂的級數，其中 $f(1) = -0.264$ 。把這些全放在一起，經過質量重整化，

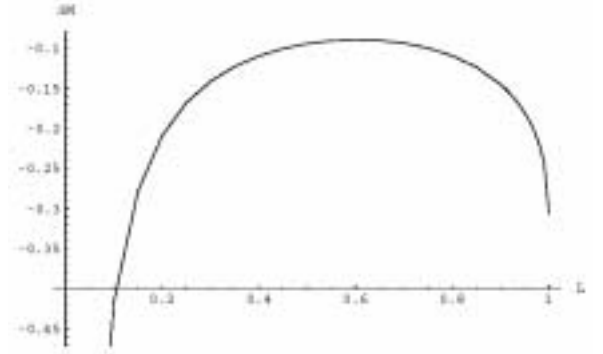
$$(\Delta M)_{\phi_0}^{ren} = -\frac{\pi}{12L} + mf(L/L_1), \quad (31)$$

如圖 3 所示。我們有

$$\lim_{L \rightarrow 0} (\Delta M)_{\phi_0}^{ren} = -m \left(\frac{L_1}{24L} \right); \quad (32)$$

$$\lim_{L \rightarrow L_1} (\Delta M)_{\phi_0}^{ren} = -0.306m.$$

圖 3: 一迴圈量子修正項(質量單位是 m)的



值，為緊致維度大小(長度單位是 L_1)的函數

對於 $L > L_1$ 真空解 $\phi_{\pm 1}$ 顯示在圖 1 中。由於在這個例子的微擾譜圖不是很解析地了解，不能像上面處理 ϕ_0 一樣清楚地求得量子修正項。一個求得 $\phi_{\pm 1}$ 能量的量子修正項的近似方式是採用 k 幕次的級數，橢圓函數的模型參數。如[4]所示，可以求得微擾 $\phi_{\pm 1}$ 在 k 幕次的本徵解。到階次 k^2 ，我們有

$$\omega_p^2 = \begin{cases} 3k^2 m^2, & p=1 \\ m^2(p^2-1) - \frac{3}{2}k^2 m^2(p^2-2), & p=2,3,\dots \end{cases} \quad (33)$$

因此，

$$\begin{aligned}
(\Delta M)_{\phi_{\pm 1}} &= (\Delta M)_{\phi_0}^{ren} \Big|_{L=L_1} + m \left(\frac{\sqrt{3}}{2} k \right) + O(k^2) \\
&= m \left(-0.306 + \frac{\sqrt{3}}{2} k + O(k^2) \right)
\end{aligned} \quad (34)$$

僅有 $p=1$ 的項在階次 k 對於 $(\Delta M)_{\phi_{\pm 1}}^{ren}$ 有貢獻。從圖 3，我們可以在 $L < L_1$ 看出對於真空能量的量子修正項隨著 L 接近 L_1 而減少。另一方面，在 $L > L_1$ ，修正項會隨著 k 或 L 增加。在 $L = 2\pi/m$ ，有一個不連續的總真空能量在第一次微分時(Eq.(12))，再次

地指出我們提到的相變。

四、計劃成果自評

在我們考慮在 orbifold S^1/Z_2 下的(1+1)維 ϕ^4 理論的真空結構。當 orbifold 的尺寸改變時，我們發現在 $L = L_c = 2\pi/m$ 有相變。在 $L < L_c$ ，有一個唯一古典真空解 $\phi_0 = 0$ ，在 $L > L_c$ 時則有兩個簡併態 ϕ_1, ϕ_{-1} 。值得注意的是，只有在加入 orbifold 條件和週期邊界條件下，才會發生相變。這種現象以前被忽略，因為在 $L \rightarrow \infty$ 的極限下，這常用來建構 orbifold GUT 模型。當考慮到動態 compact 維度的情況，尤其在早期宇宙天文的起始值，我們這樣的相變將會變得重要。

我們使用 zeta 函數重整化來處理發散的量，也可計算在波色子分布下的真空解，得出量子修正項。如圖 3 所示，這修正項主要貢獻是由小 L 的本徵能量和 $L \rightarrow 0$ 時，它將跑到負的無窮。另一方面，當 $L \rightarrow L_c$ 時，它將會降低至有限值。對於 $L > L_c$ ，我們使用微擾的方法來近似量子修正項。對於 L 接近 L_c ，修正項將隨著 L 增加。因此，量子修正項在 $L = L_c$ 有一個掉落值並且在斜率上為不連續，這是現在相變的指標。

這個結果也會關聯到較高維的情況。例如，有一維為 orbifold 的五維情形下，場可以用四維乘上一個跟 orbifold 有關的維度來表示[6]。然後，針對內部維度大於或小於 L_c 的尺度，需要考慮到兩種不同的真空結構情形。

除了考慮較高維度的方向，當規範場放到 orbifold 上，看看真空結構是否會像孤立子解。在[12]中，單磁弦論解是會產生 orbifold 的情況，其中跟 compact 維度是無關的。在這樣關聯下，我們也可以看看 instanton 或 caloron 的解，在伴隨或沒有伴隨 non-trivial holonomy 下，即是否有對稱破壞或沒有[13,14]。我們希望在未來可以觀察這些情況。

五、參考文獻

- [1] Y. Hosotani, Phys. Lett. B **126**, 309(1983); Ann. Phys. **190**, 233 (1989).
- [2] J. Scherk and J. H. Schwarz, Phys. Lett. B **82**, 179 (1979).
- [3] H. Hatanaka, S. Matsumoto, K. Ohnishi, and M. Sakamoto, Phys. Rev. D **63**, 105003 (2001).
- [4] N. S. Manton and T. M. Samols, Phys. Lett. B **207**, 179(1988).
- [5] see, e.g., M. Quiros, hep-ph/0302189.
- [6] H. Georgi, A. K. Grant, and G. Hailu, Phys. Rev. D **63**, 064027 (2001); Phys. Lett. B **506**, 207 (2001).
- [7] Y. Hosotani, S. Noda, and K. Takenaga, Phys. Rev. D **69**, 125014 (2004).
- [8] See, e.g., E. Elizalde, S. D. Odintsov, A. Romeo, A. A. Bytsenko, and S. Zerbini, Zeta Regularization Techniques with Applications (World Scientific, Singapore, 1994).
- [9] J.-Q. Liang, H. J. W. Müller, and D. H. Tchrakian, Phys. Lett. B **282**, 105 (1992).
- [10] F. M. Arscott, Periodic Differential Equations (Pergamon, Oxford, 1964).
- [11] R. F. Dashen, B. Hasslacher, and A. Neveu, Phys. Rev. D **10**, 4130 (1974).
- [12] R. Dermisek, S. Raby, and S. Nandi, Nucl. Phys. B **641**, 327 (2002).
- [13] D. J. Gross, R. D. Pisarski, and L. G. Yaffe, Rev. Mod. Phys. **53**, 43 (1981).
- [14] T. C. Kraan and P. van Baal, Nucl. Phys. B **533**, 627 (1998).